

A Tejútrendszer felfedezése: a  
sztori és a gömbhalmazok

Bevezetés a csillagászatba IV.

A wide-angle night sky photograph capturing the Milky Way galaxy. The central band of stars and interstellar dust is prominent, stretching across the frame. The foreground is dark, silhouetted against the bright celestial body. In the bottom right corner, the letters "ESO" are printed in a white, sans-serif font.

ESO

- Tejútrendszer: galaxis  
görög: kiklos galaxias ( $\gamma$ αλαξίας)  
latin: via lactea
- Angol: galaxy, Galaxy  
Milky Way
- 1610: Galileo Galilei: távcsővel csillagokra bontotta a Tejút fényes sávját
  - 1750: Thomas Wright (filozófus), “An Original Theory or New Hypothesis of the Universe”

A. 1757

AN  
**ORIGINAL THEORY**  
OR  
NEW HYPOTHESIS  
OF THE  
**UNIVERSE,**  
Founded upon the  
**LAW S of NATURE,**  
AND SOLVING BY  
**MATHEMATICAL PRINCIPLES**

T H E

General PHÆNOMENA of the VISIBLE CREATION ;  
AND PARTICULARLY  
The VIA LACTEA.

Compris'd in Nine Familiar LETTERS from the AUTHOR to his FRIEND.  
And Illustrated with upwards of Thirty Graven and Mezzotinto Plates,  
By the Best MASTERS.

---

By **THOMAS WRIGHT**, of DURHAM.

---

One Sun by Day, by Night ten Thousand shine,  
And light us deep into the DEITY. Dr. YOUNG.

---

**L O N D O N :**

Printed for the AUTHOR, and sold by H. CHAPELLE, in Grosvenor-Street.

**MDCCL.**

PLATE XII.

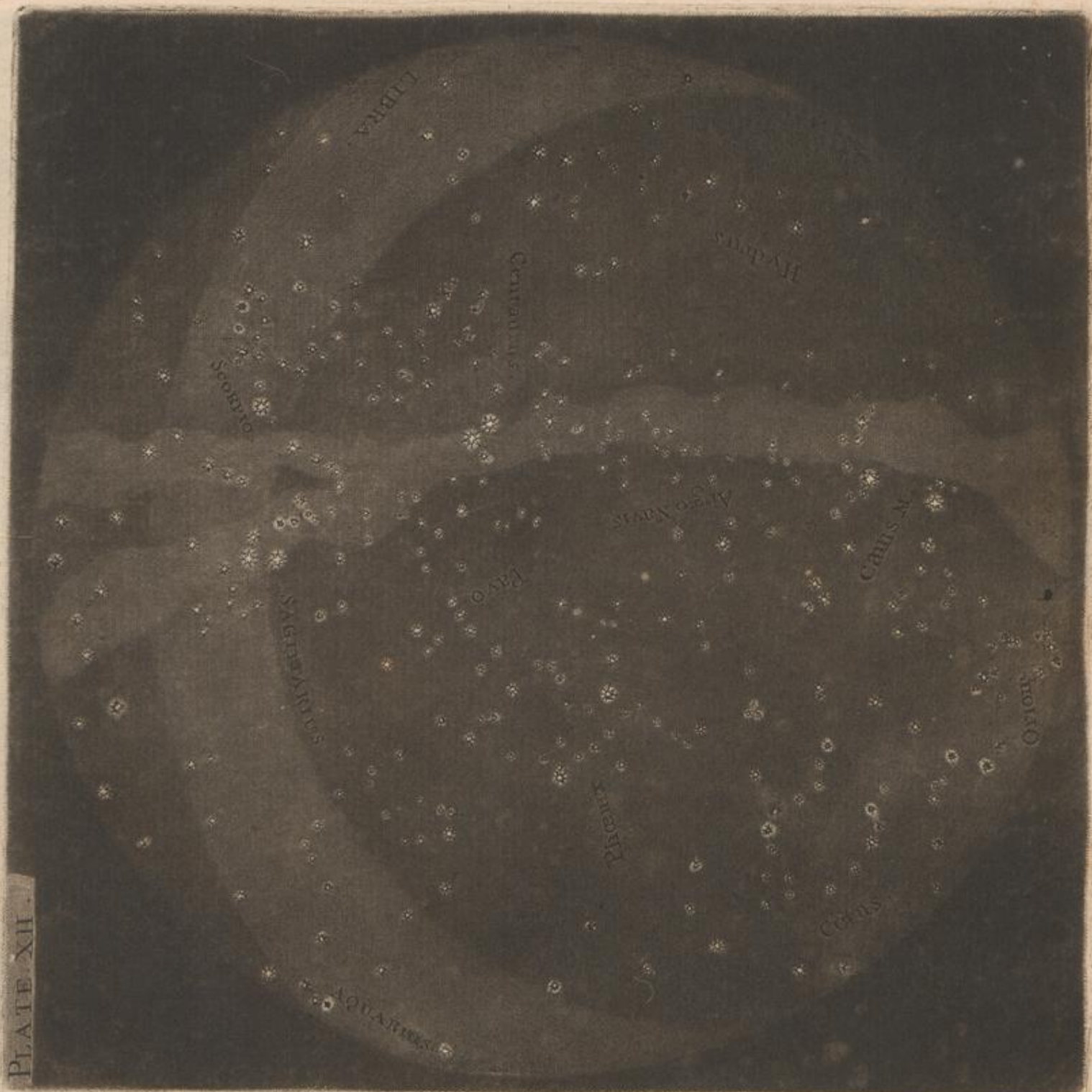
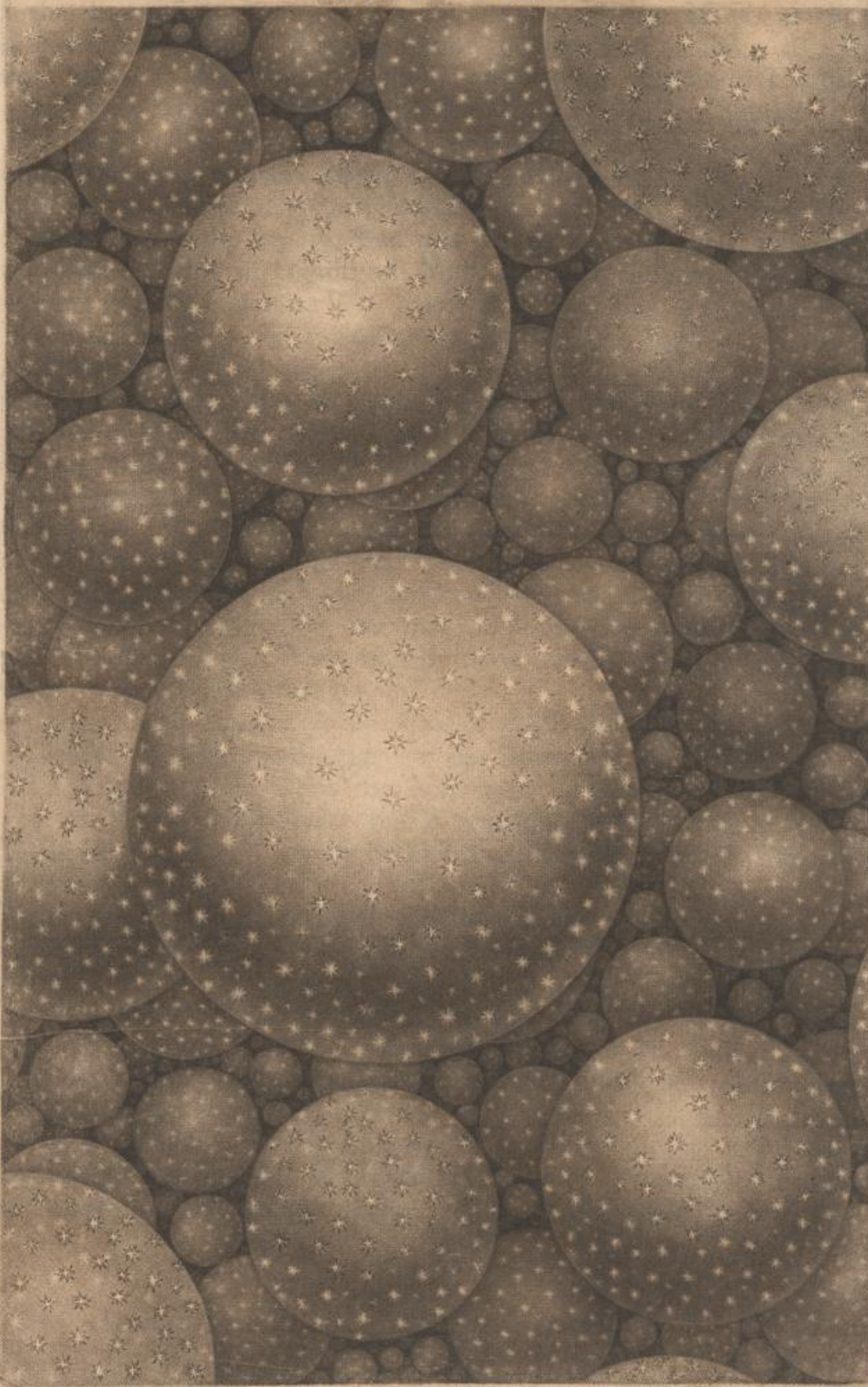


PLATE. XXXI.



- Immanuel Kant (1755, “Allgemeine Naturgeschichte und Theorie des Himmels”): a csillagok nem egyenletes töltik ki a teret, hanem egy lapos korong alakját veszi fel az eloszlásuk.

De mekkora a rendszer? Probléma: **benne vagyunk.**

- William Herschel (Uránusz, IR sugárzás, kettőscsillagok, halvány ködök): csillagszámlálás.

- Herschel 3 feltevése:
  1. a csillagok térbeli sűrűsége állandó
  2. a csillagok abszolút fényessége állandó
  3. távcsöveivel ellát a rendszer szélénig
- 1784-1785: 683+400 mező (negyed telihold), csillagok száma és fényessége

Tfl.  $D(r, l, b)$  a cikkely terjedési zártüvege, tfl. a llámb.

$r$ - fülesig an esetleges

$l, b$ : gáborfűs szélesség és hosszúság

Hálózat  $\Omega$  terjedési egységeit ( $4\pi$  a felület;  $1\text{sr} = 3283 \text{ négyzetfor}$ )



$$A = \pi r^2$$

$$dV = \pi r^2 dr \quad \text{lefüggeszni } r, r+dr \text{ fülesig lezárt}$$

$$n(r) = D dV = \pi D^* r^2 dr \quad \text{cikkelymalma}$$

$N(r)$ : az összes cikkely zártan  $r$  fülesig.

$$N(r) = \int_0^r n(r) dr = \pi D \int_0^r r^2 dr = \frac{1}{3} \pi D r^3$$

Herschel a Laki猩猩galaxiával párhuzamosan nézve a felszín alatt:

$$[d = 10^{(m-M+5)/5}]$$

$$r = 10^{0.2m + \epsilon} \quad \epsilon = \text{const.} \quad (M = \text{all})$$

felvér az intervallok, majd logaritmikus:

$$\log N(m) = 0.6m + K$$

ahol  $K = \text{const.}$  ( $M, D, S$ )-hoz függ

$\downarrow$   
 $m, m+1$  magnitűk között  $10^{0.6} = 3.98$ -nél több mint van.

Például 2 magnisnál Herschel megnézi 3.4-szer több van, mint 1 magnisnál.

Kondel négyen előre felmelegedett fakultat (600 \* vs. 1 \* )

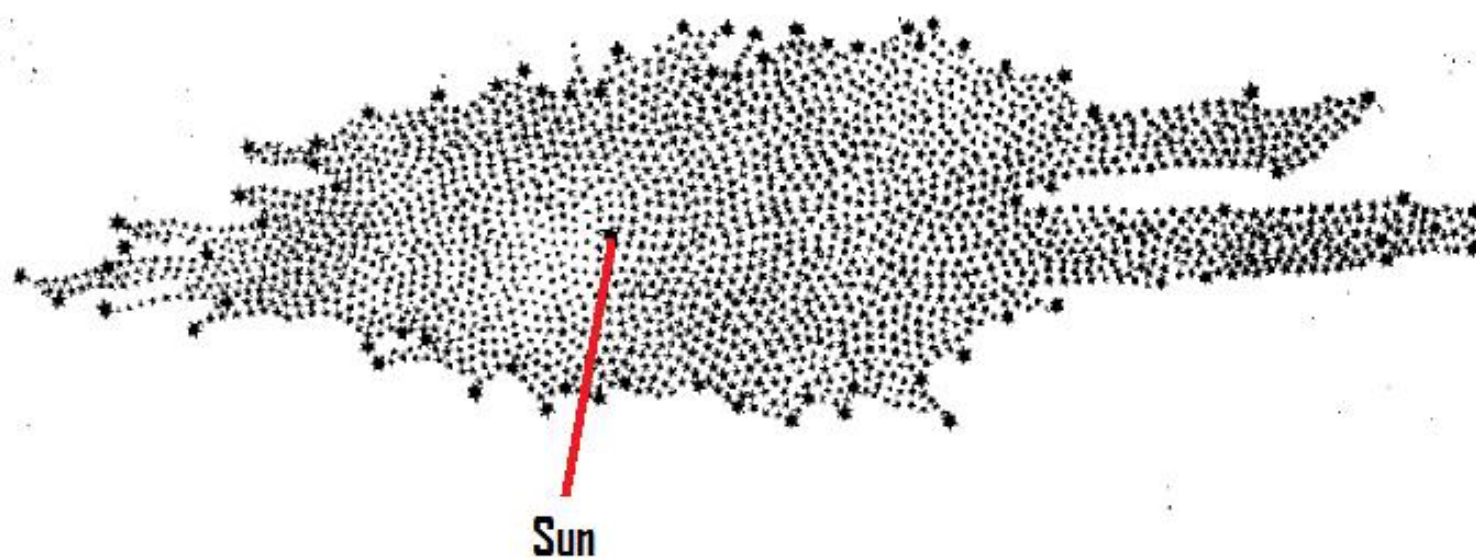
Szintén is elég elonkörül a csillag, > mivel a Tejút minden irányban

bároldani fogja, a Nap rálátott az elonkörökben lefelé.

Kondel szint a Tejút bároldásának általában a kölcsönhatású 800-zere,

a mostropolisztikai 150-zere alkotásához.

Ez a földön van földkör, gyakorlatilag Newton-Sirius-között.



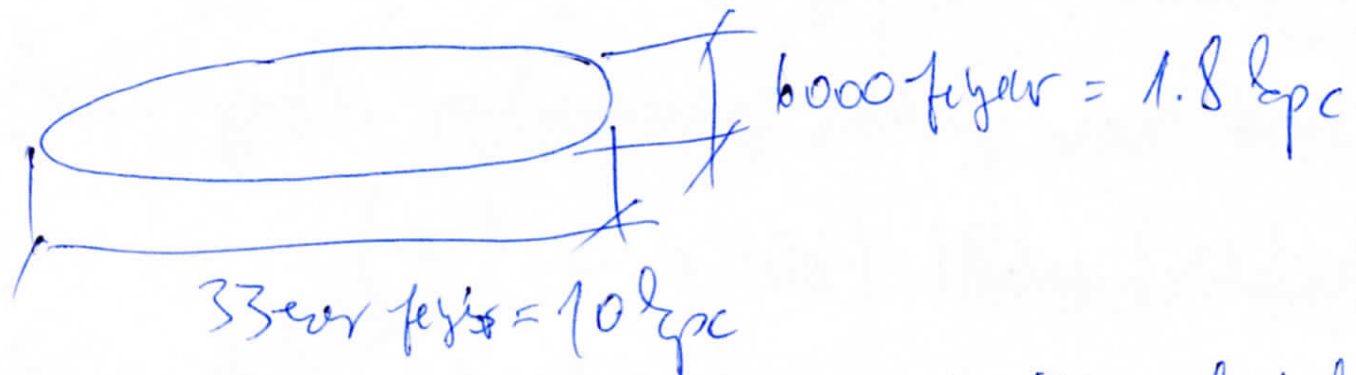
- Hugo von Seeliger (1849-1924)  
Jacobus Cornelius Kapteyn (1851-1922)

Sztellárstatisztika igazi kidolgozása a Bonner Durchmusterung (BD) alapján

457.848 db csillag pozíció és fényesség (F.W. Argelander kezdeményezésére)

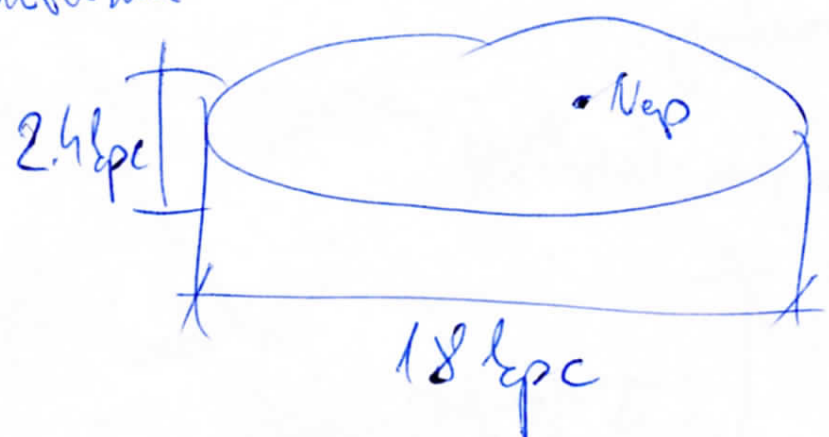
Seeliger modell: nem a ciklus általános folyamatait, bármelyen az  
abszolút folyamot elvonás előlendi minden teljesítésben.

→ az ennek  $\phi(M)$  luminositasfüggő konstans. Ez a körből felvett értékek  
szabályozásával a  $D(n, l, b)$   
Seeliger modell (1920)



Seeliger használta ezt a modellt, hogy a galaxisokat a közeljárásban a kölcsönhatásuknak köszönhetően körfelvételre hozza.  
Jacobs Kapteyn szintén 1920-ban alkotta meg a modellt:

Kapteyn-univerzum



Ez inkább csillagokról, nem Kapteyn szintén ezt a kölcsönhatásról.

Periodus-féjezőjű zöldes:

Hannetta Swan leíratt (1907): Kics Magellen-féle "zöldes" csernádik négyléte  
fotókészítődm.

16 cseppelő alapján: Látható féjező lassulás = periódus.

Minden gyakorlatban

$$\langle M_V \rangle = a + b \log P$$

1912: P-L zöldes' publikáció, 25 cseppelő SMC-ben.

Miért is látható a zöldes?

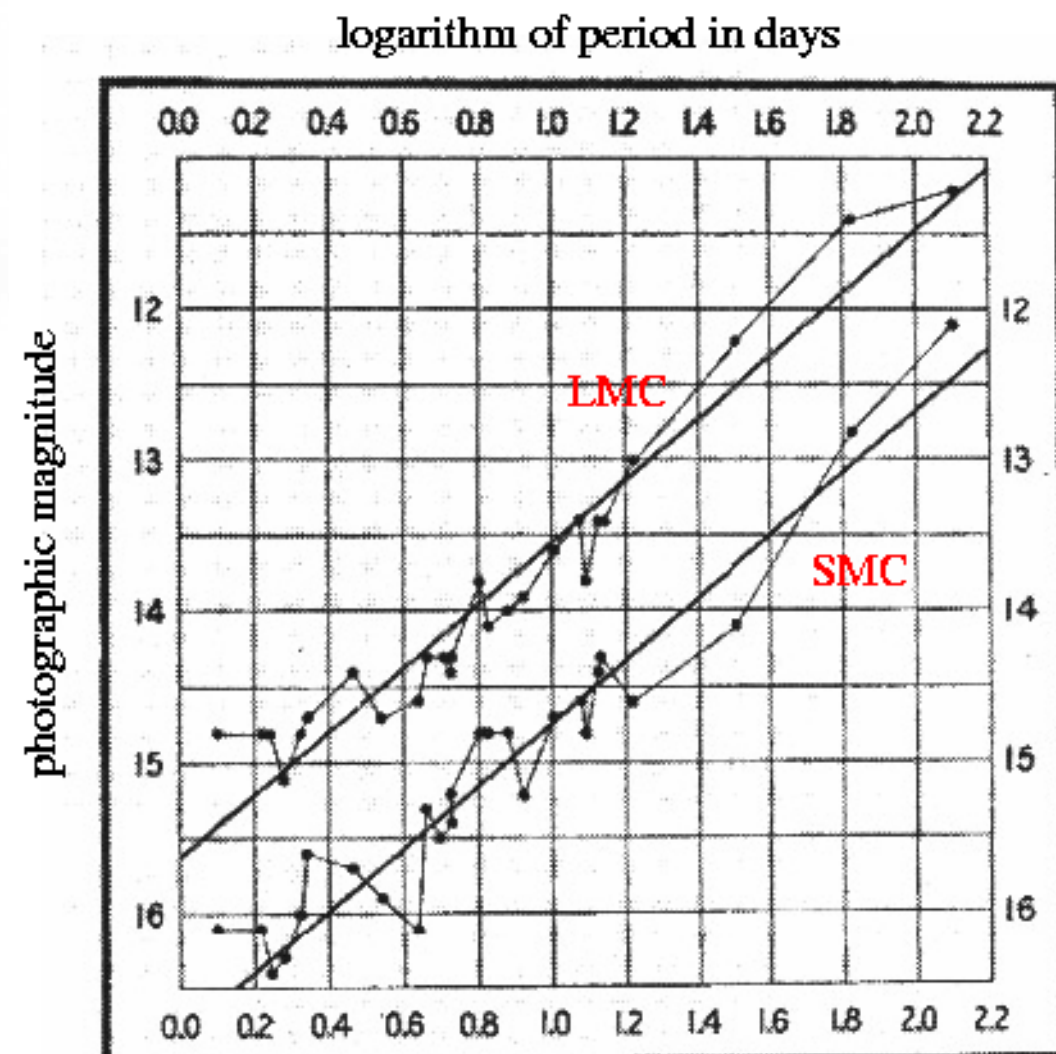


FIG. 2.

Mitk is tödlich a zieldis?

$$\text{Kreisförmige Umlaufbahn } P = 2\pi \sqrt{\frac{L}{g}}$$

Dann Kreisförmig teilt sich a abstand ist esp. hydraulisch: hier ein abstand  
verzögert werden zu werden, also a viskosität ist ein a gravitatis.

$$l \rightarrow R$$

$$g \rightarrow GM/R^2 \quad \left. \right\} \rightarrow P = 2\pi \sqrt{\frac{R^3}{GM}}$$

$$\text{Afflosz zähigkeit: } \bar{g} = \frac{M}{\frac{4}{3}\pi R^3} = \frac{3M}{4\pi R^3}$$

Abschneide:  $P\sqrt{\bar{g}} = Q = \text{affl. pulsation} \text{ ergeben}$   
 $Q$ : pulsation allentös a abstand.

periodus- zähigkeit relativ: zuv neigenden leentös abwärts.

$$P \sim R^{1.5}$$

$$L = 4\pi R^2 G T^3$$

$$\rightarrow L \sim R^2 \quad \left. \right\} P \sim L^\alpha$$

instabilitätszahl  $\rightarrow T \sim \text{affl. eff.}$

$$\eta \sim \log L \sim \log P$$

Ergebnis mit beliebigen apprenien wgmetschö parameterlös  
a potes(sen) absolut-fürney-negativen!

Hertzsprung (1912): statikus paralellsorral tulajtak a zérushiperbol.  
 $(P=6.6 \text{ nap} \rightarrow M_V = -2.3)$ , 13 refide alapján. Pontatlan Galaktikus.

Harlow Shapley (1885-1972)

(Uni. of Missouri, archeology & astronomy)

Upatalibulka a PL-valiből, melyet az előző alkalmazta is a Tejtender felbecsülése.

Kulcsolymos: szimbolizmus

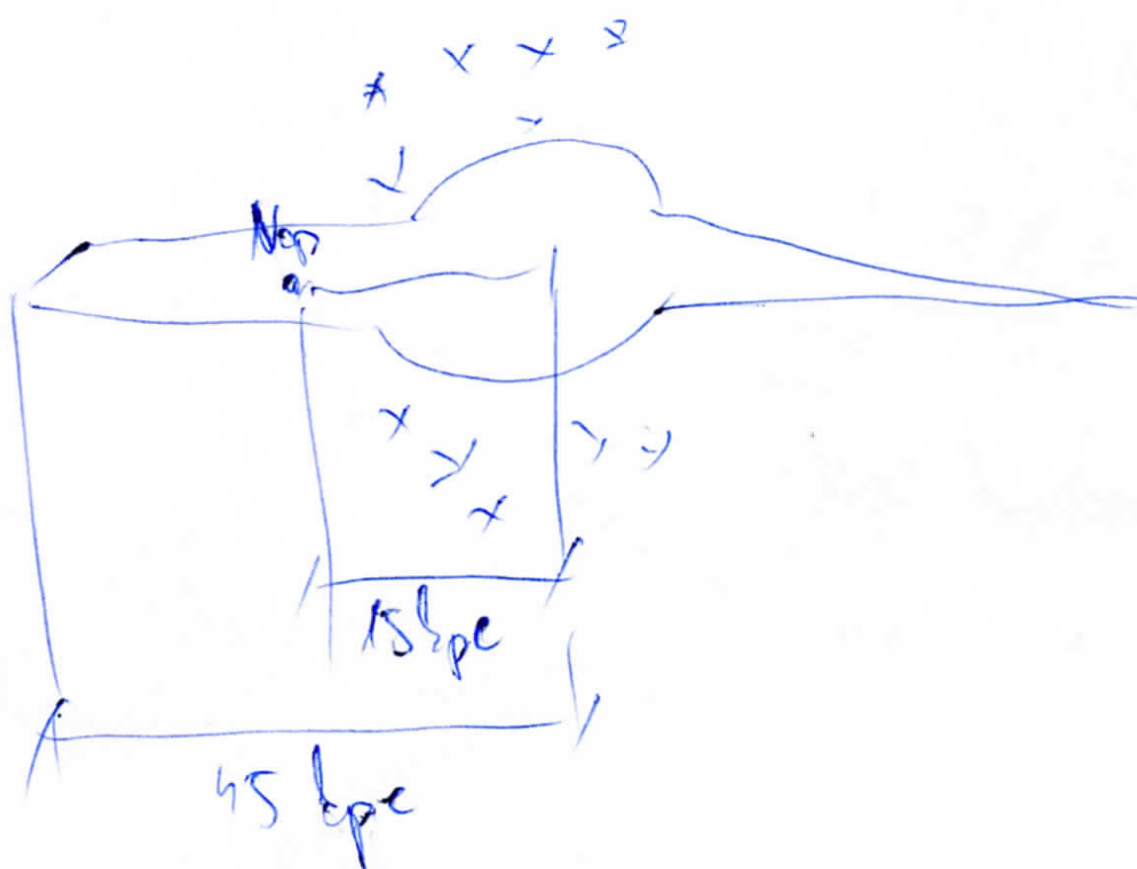
- Shapley (1917): 69 gömbhalmaz (GH) távolságainak publikálása
  1. omega Cen, M3, M5: cefeidákat tartalmaznak, **PL-reláció**
  2. A három GH alapján kalibrálta bennünk az **RR Lyrae** csillagok abszolút fényességét (kb. konstans). +4 GH távolsága
  3. A 7 GH-ból a **30 legfényesebb csillag** átlagos abszolút fényessége (-5 előtér). +21 GH távolsága
  4. A 28 GH-ból tényleges átmérő, majd ezt **standard méterrúdként** használta. +41 GH távolsága

Sheppley (1917): 69 f.H. felsolsynd publisolt sa.

Fjällens 15kpe-re värde (50000 feg) → upp till <sup>gröna</sup> värde  
medeke.

Sheppley postulerar, hysa f.H.s fördelninga ovanad a Tegnander  
maga brol. Mivel a f.H.-s 90%-a om pris af 3% -at fteri oftales  
id, er ardet van, mest mogna tilltak idet → a Nop mina a Tr.)  
Dreppenholan!

Sheppley reut (1920)



- Robert Trümpler (1930): a csillagközi térben jelentős fényelnyelés van
  - 80 nyílthalmazra távolságok meghatározása két módszerrel
  - 1. standard méterrúd: a nyílthalmazok mérete közel azonos
  - 2. fősorozatillesztés

1999.4 : 80' átlátható halvályal meghalhat.

A bőt mödörő látott működésben effektus halvályal.

Pl. Myndök + M103

$$\begin{array}{l} \text{Myndök: } 400' \text{ átlátható} \\ \text{M103: } 71' \text{ átlátható} \end{array} \left. \begin{array}{l} \text{Myndök: } 400' \\ \text{M103: } 71' \end{array} \right\} \rightarrow \frac{400}{7} = 57 \cdot \text{zer működés}$$

$$\text{Myndök: } 46 \text{ pc} \rightarrow \text{M103 } 2.6 \text{ kpc}$$

Földszinti közelítő: M103 földszinti 10.5 megnövekedett halvályal.

$$10^{10.5/5} \approx 175 \text{ halvályal} \rightarrow \text{M103 } 5.75 \text{ kpc}$$

A földszinti közelítő megnövekedett halvályal adott.

bijdrage: aantal sterren telken feitelijke afstand. Triplex zent.  $0.7 \text{ mag}/1 \text{ kpc}$

$$\text{ff. } 2.6 \text{ kpc} \rightarrow 0.7 \times 2.6 = 1.8 \text{ mag}$$

$$10.5 - 1.8 = 8.7 \text{ mag} \quad 10^{8.7/5} = \underline{\underline{55}}!$$

$$d(\text{pc}) = 10^{(m-M-A_\lambda)/5} \quad \text{Korrektur Zell}$$

(wahrsch:  $m-M = -5 + 5 \log d + A_\lambda$  )

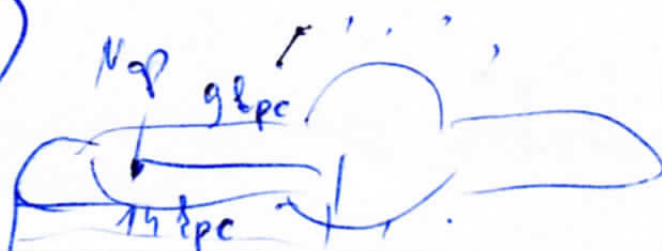
$A_\lambda$ :  $m \in M$  Nullabsorptions

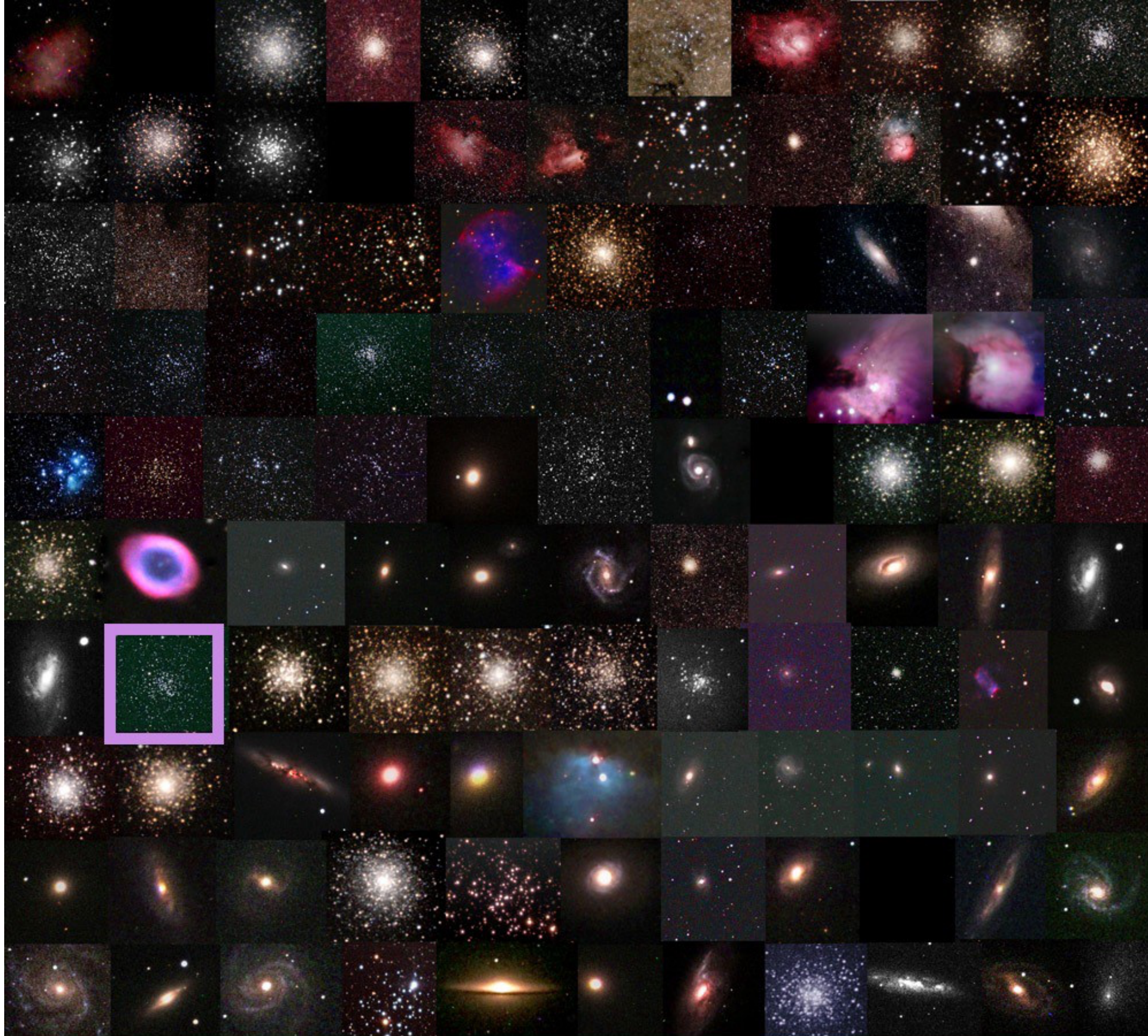
↓ fiktiv extrin.

$$E(B-V) = B-V - (B-V)_0$$

+ visuöls (reale extinkt.) Tafelwert:  $\frac{A_V}{E(B-V)} \approx \text{all } \approx 3.$

hundert fachste wie bei Stobling (1933)





Messier Object Marathon 2008, by G. Scheckler, telescropy: Slooh.com

**Nyílthalmazok:** fiatal, ( $10^6$ - $10^9$  év), gyengén kötött csoportosulások, jellemzően több száz halmaztaggal. Fémgazdag populáció, egyedi csillagok széles tömegtartományban.



© A\*P\*O Szitkay - Eder 2008

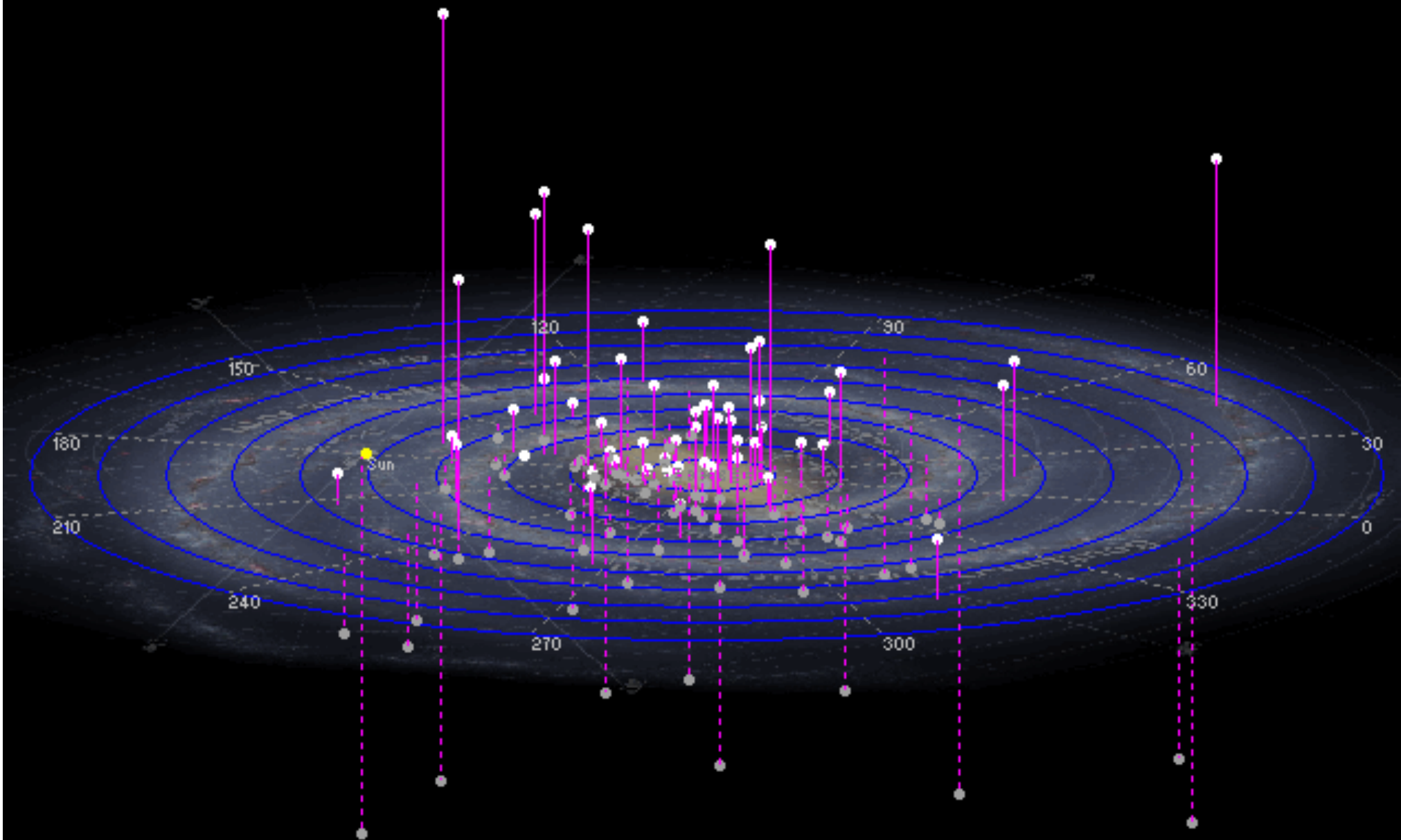


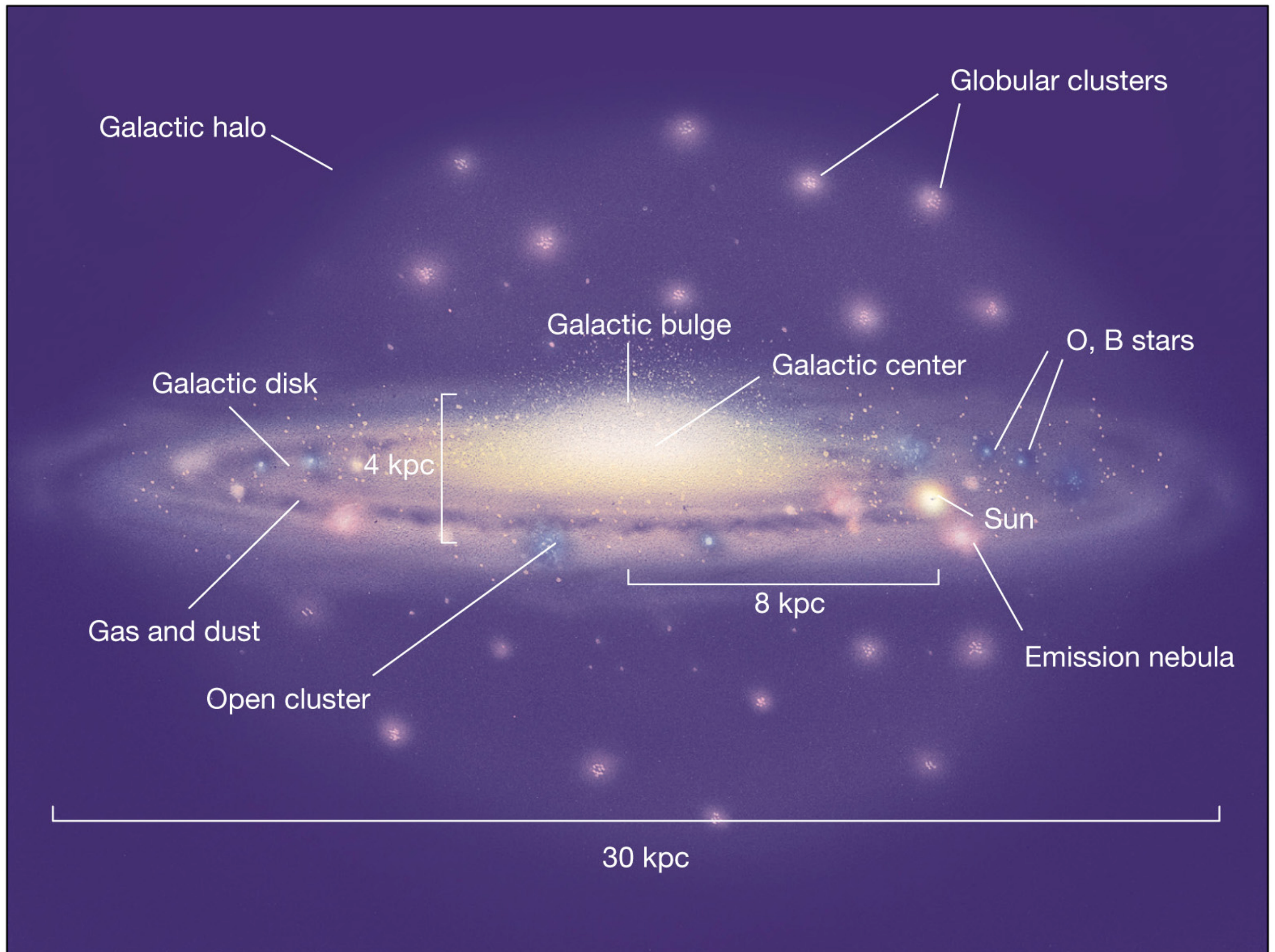
© Eder Iván 2006

**Gömbhalmazok:** a Tejútrendszer legidősebb építőkockái ( $10^{10}$  év), akár 1 millió halmaztaggal. Fémszegény populáció, a galaktikus fejlődés kistömegű túlélői, sok csillagfejlődési végállapot (fehér törpék, neutroncsillagok, fekete lyukak?).

The 119 globular clusters within 50,000 LY of the galactic centre  
Galactic centric (galactic longitude and latitude)

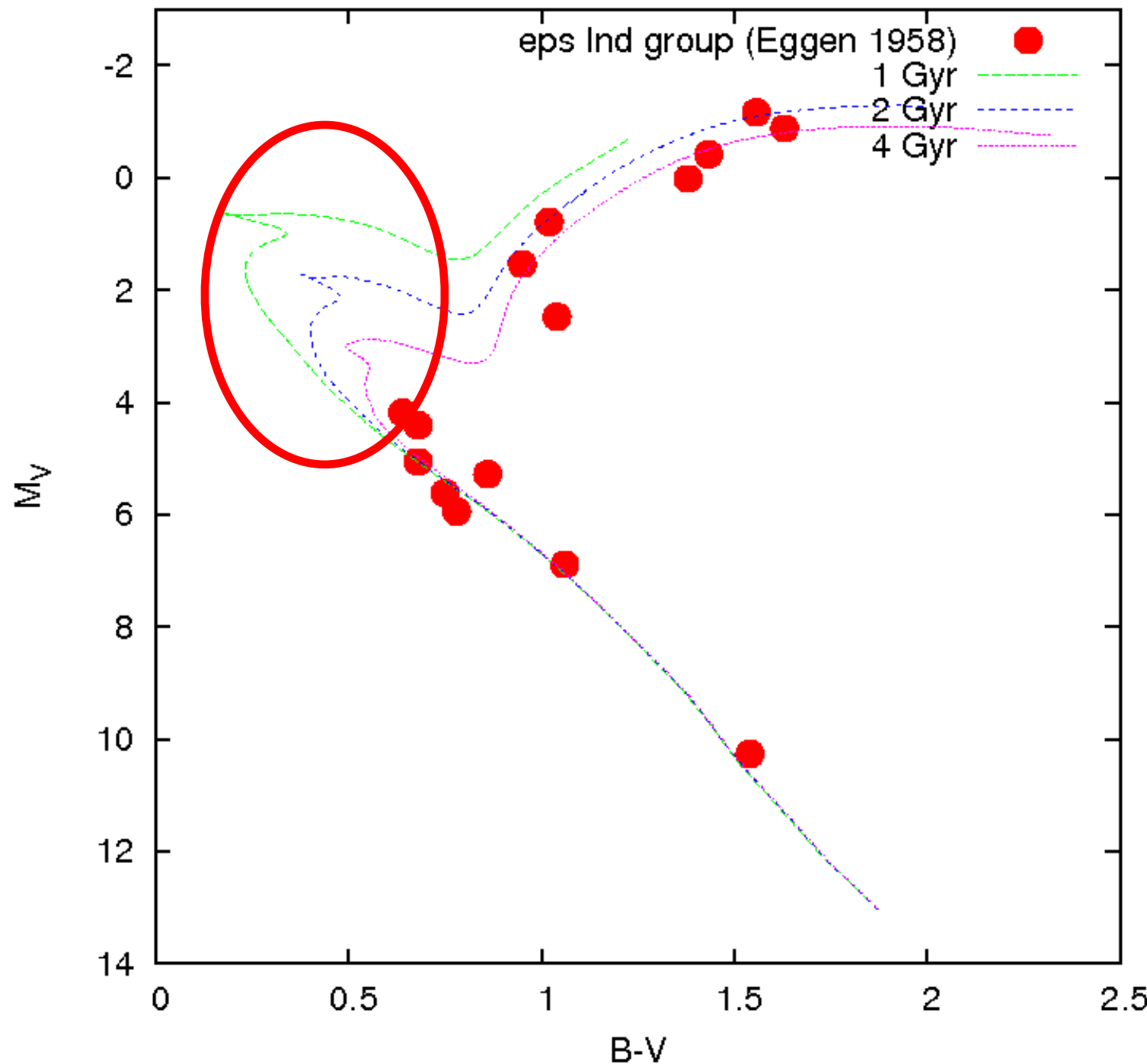
5,000 LY



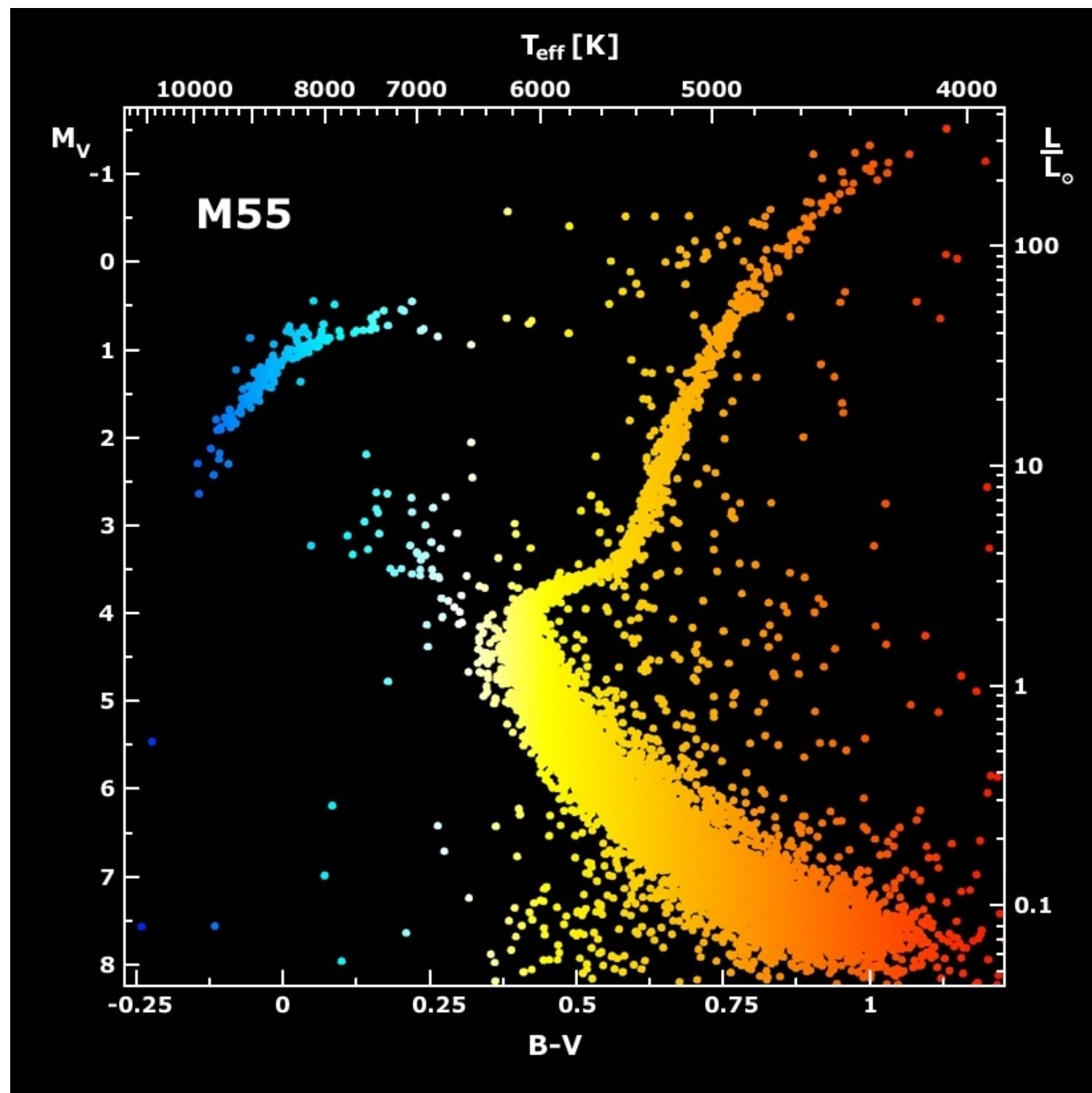


(Penn State Uni.)

# Csillaghalmazok kronometriája: a szín-fényesség-diagram



# Csillaghalmazok kronometriája: a szín-fényesség-diagram



(B.J. Mochejska et al.)

## A gömbhalmazok “általános tulajdonságai”:

- nagyon idős csillaghalmazok ( $t > 10$  Gév);
- a galaktikus dudorban és a halóban találhatók (kb. összesen  $\sim 150$ );
- a halmaztagok kora és kémiai összetétele megegyezik...
- ...dinamikai állapotuk pedig beállt nyugalmi helyzetbe réges rég;
- a csillagfejlődési elméletek kitűnő asztronómiai laboratóriumai

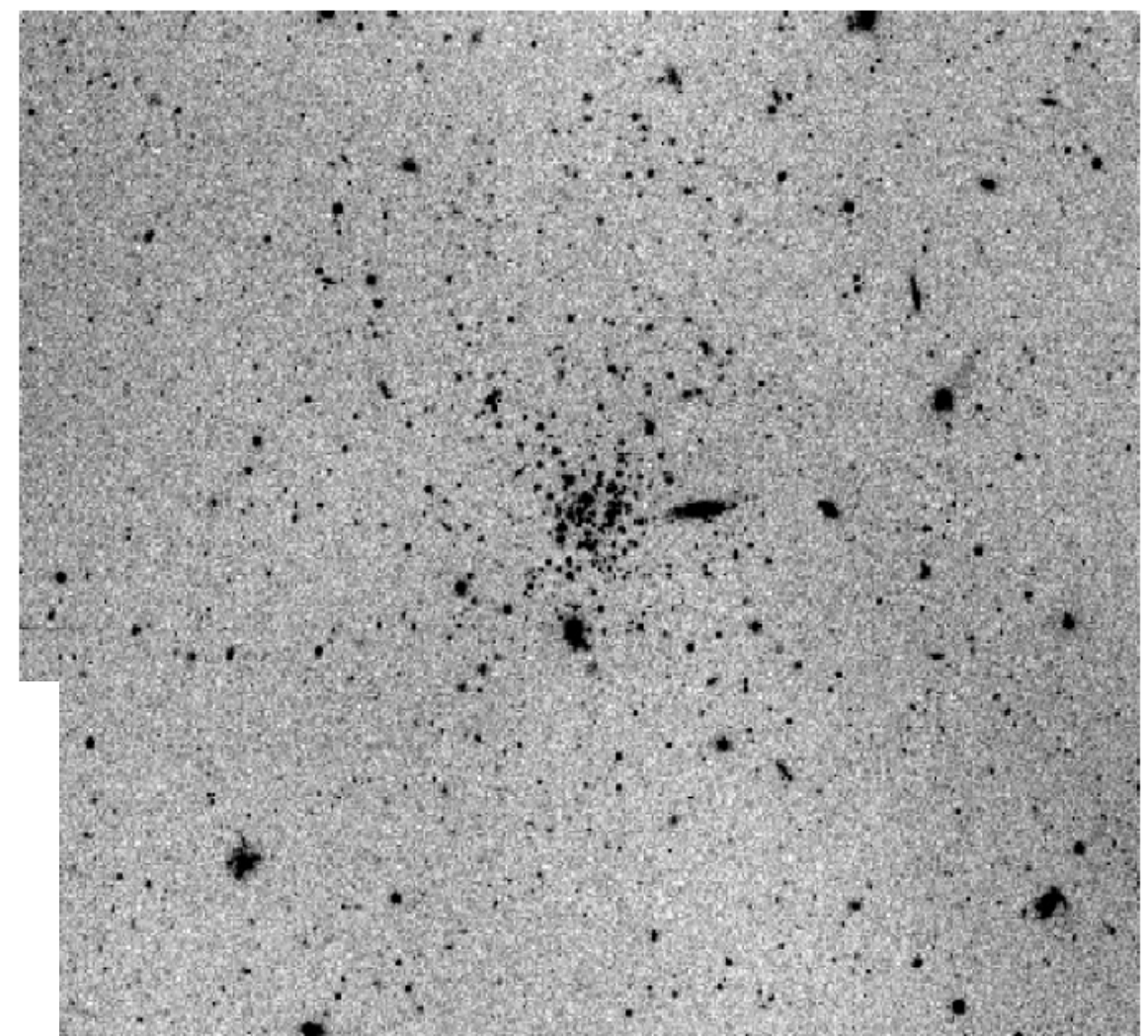
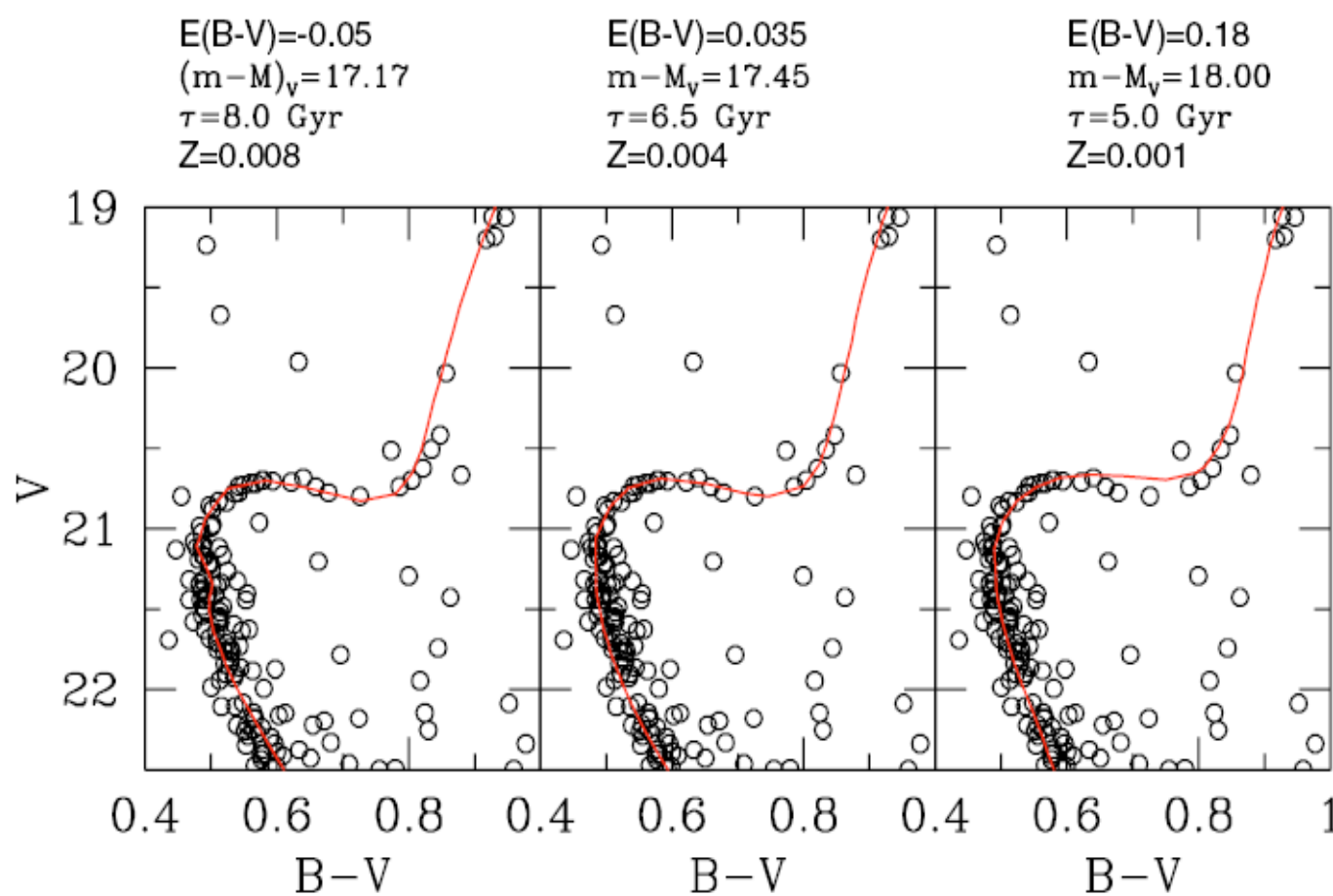
# Léteznek “fiatal” gömbhalmazok

Pl. Whiting I a Sgr dSph-ban:  $t \sim 6,5$  Gév

(Carraro et al. 2007, A&A, 466, 181)

Segue 3 a galaktikus halóban:  $t \sim 3,2$  Gév

(Ortolani et al. 2013, MNRAS, 433, 1966)



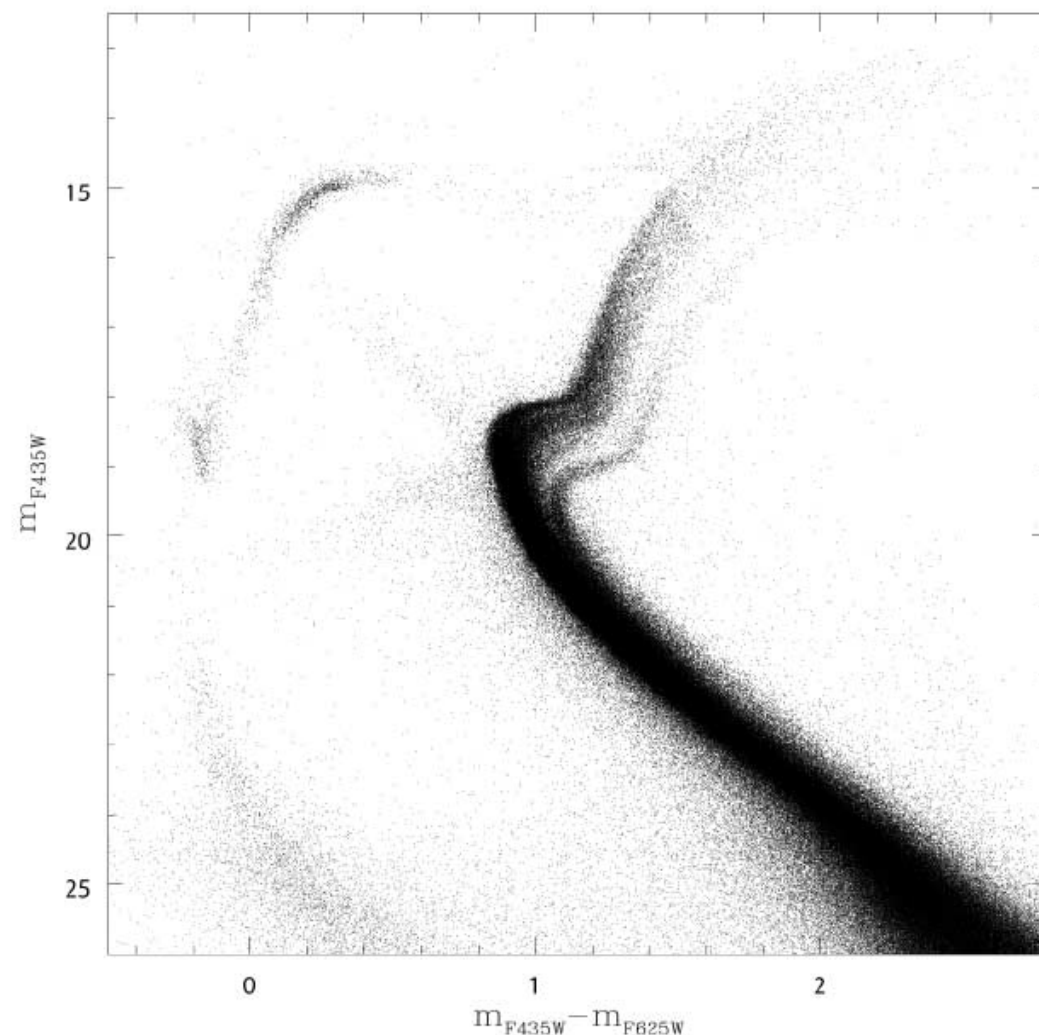
# Többszörös populációk gömbhalmazokban

**omega Cen:** régóta ismert többszörösségek

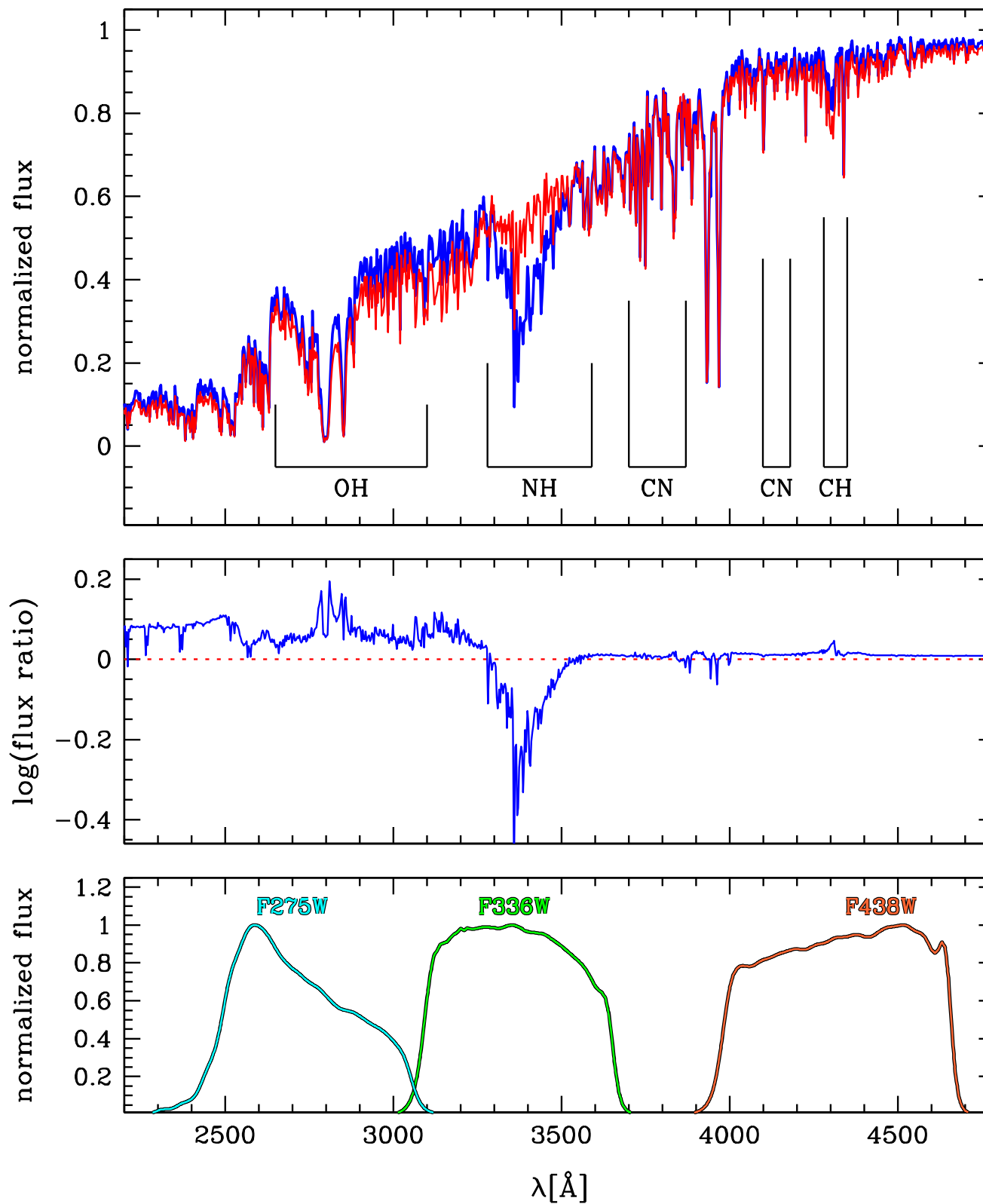
pl. Norris et al. (1996), ApJ, 462, 241

Lee et al. (1999), Nature, 402, 55

Pancino et al. (2003), MNRAS, 345, 683

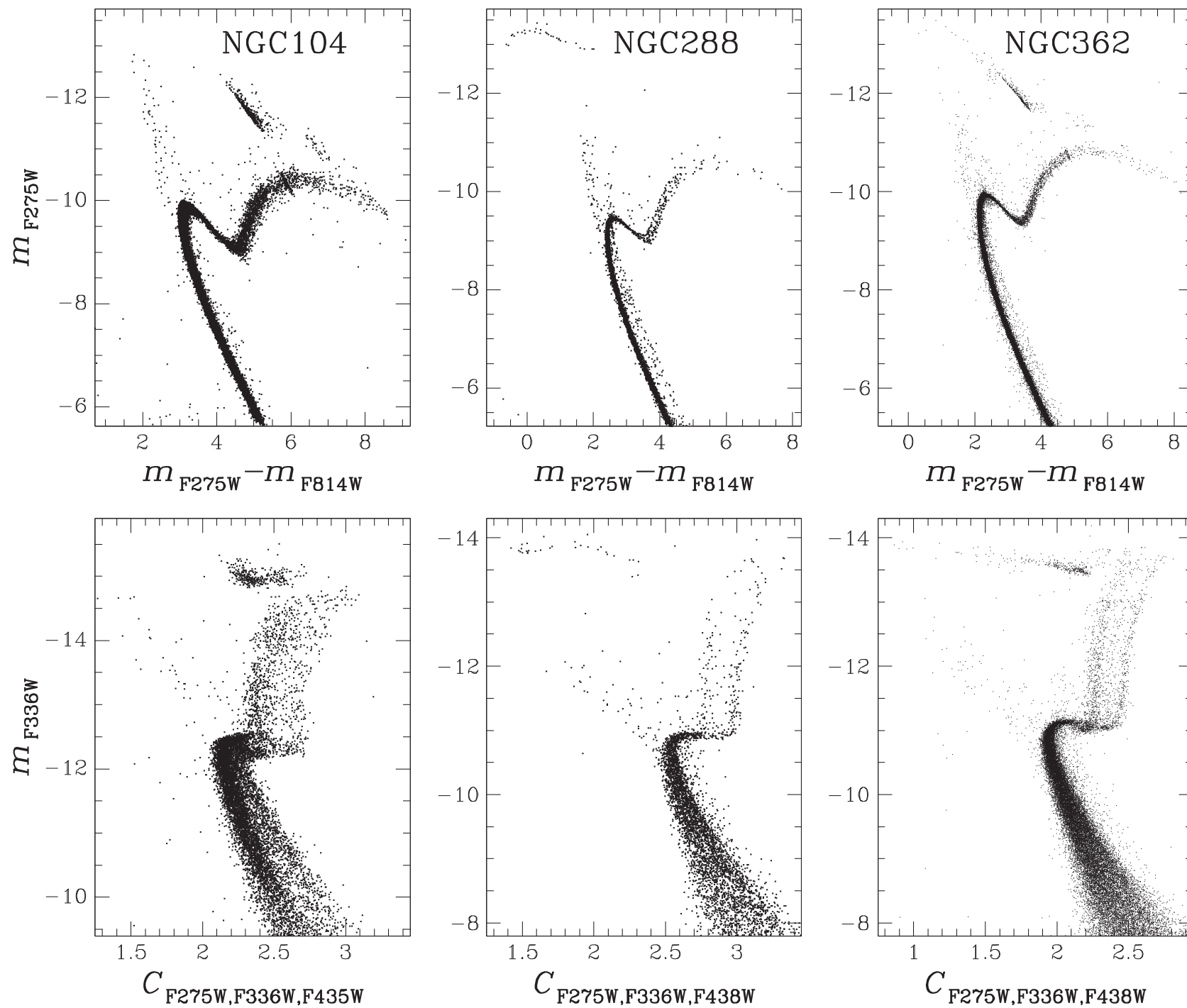


HST fotometria > 1 millió csillagra  
(Villanova et al. 2007, ApJ, 663, 296)



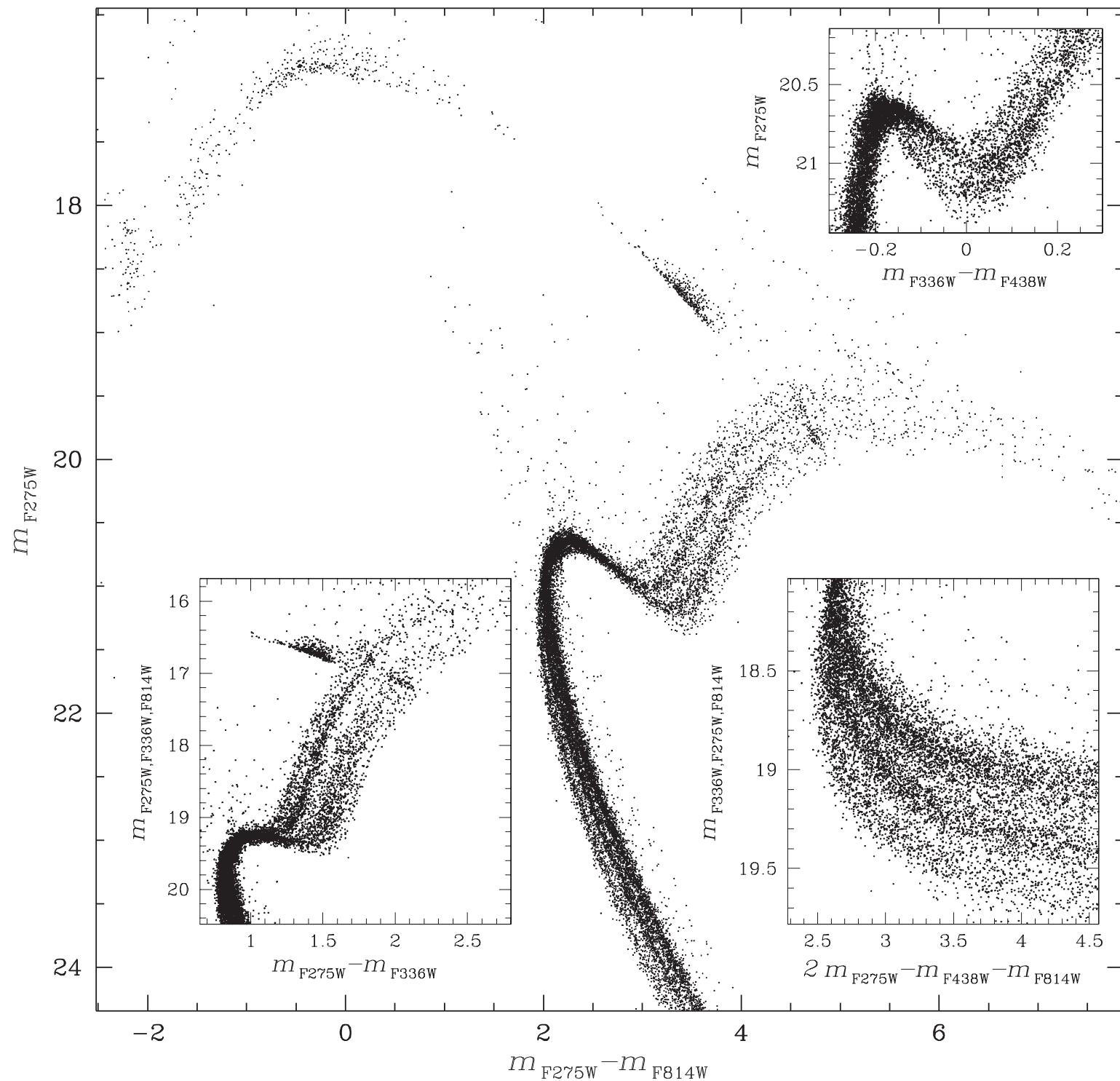
**Figure 1.** Upper panel: in red the simulated spectrum of a star of the first stellar generation (N-poor) RGBa in NGC 6752; in blue the simulated spectrum of a third generation, N-rich, RGBc star (Milone et al. 2010). Middle panel: flux ratio of the two spectra reproduced in the upper panel. Lower panel: bandpasses of WFC3/UVIS with F275W, F336W, and F438W.

(Piotto et al. 2015)



**Figure 4.** Upper panel:  $m_{\text{F}275\text{W}}$  vs.  $m_{\text{F}275\text{W}} - m_{\text{F}814\text{W}}$  CMDs of NGC 104, NGC 288, and NGC 362. Lower panel:  $m_{\text{F}336\text{W}}$  vs.  $C_{\text{F}275\text{W},\text{F}336\text{W},\text{F}438\text{W}}$  index for the same clusters as the upper panel. Magnitudes and colors are in the instrumental system described in the text.

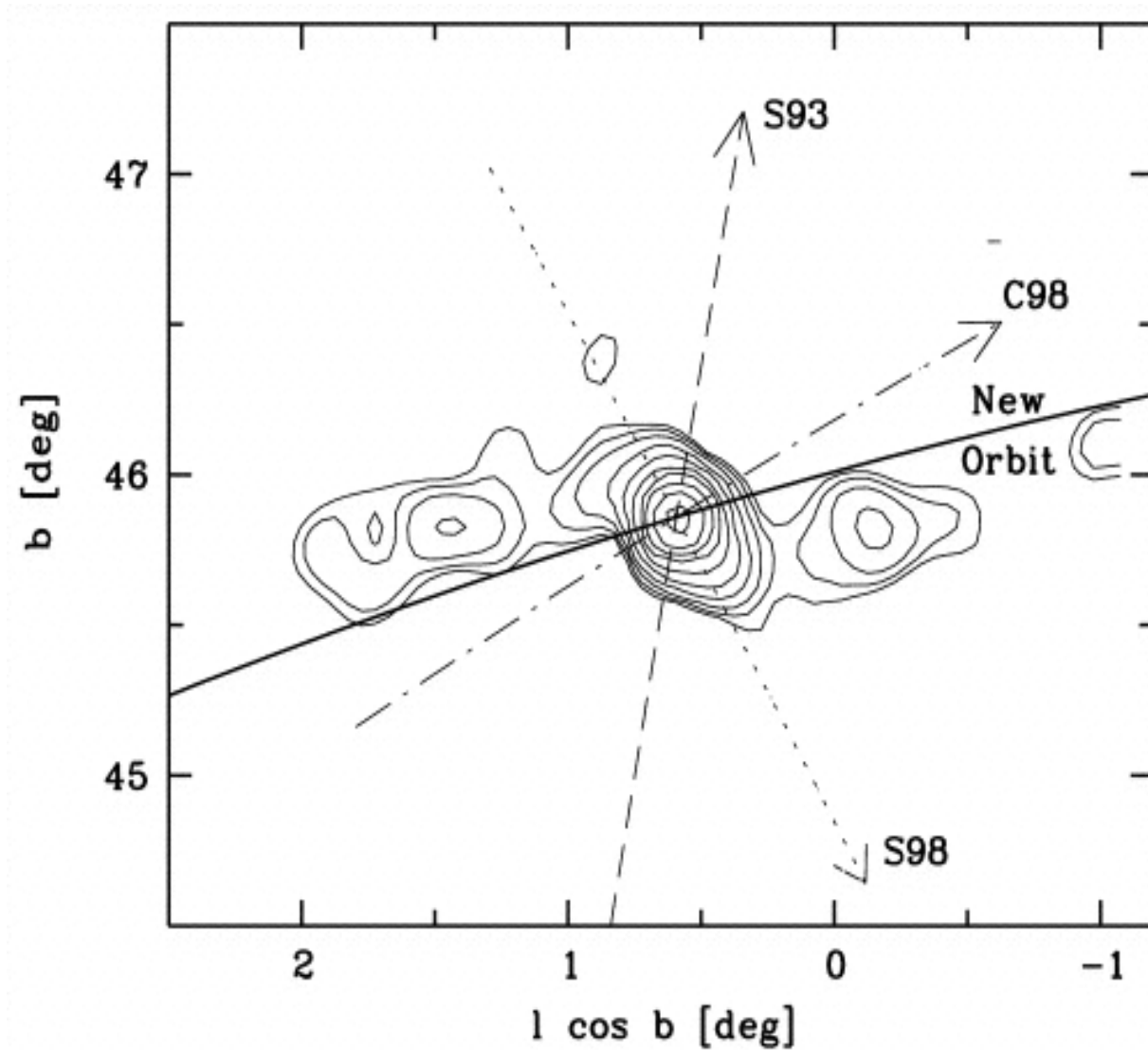
(Piotto et al. 2015)



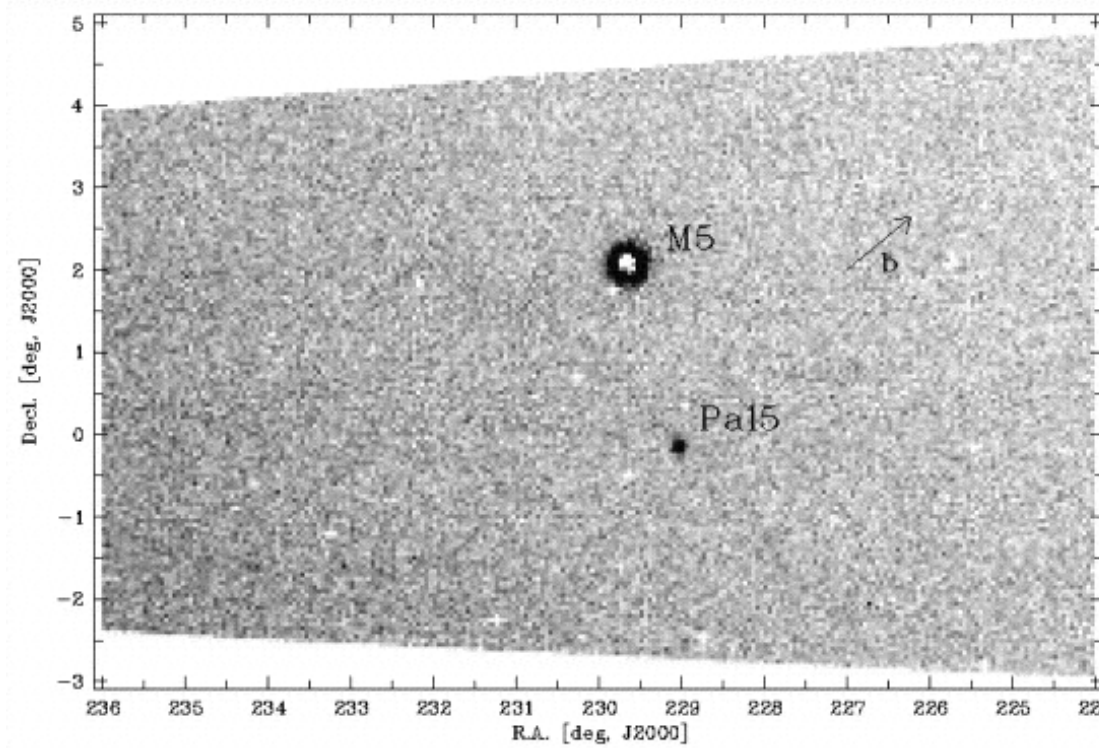
**Figure 1.**  $m_{\text{F275W}}$  vs.  $m_{\text{F275W}} - m_{\text{F814W}}$  CMD of NGC 2808. The  $m_{\text{F275W}, \text{F336W}, \text{F814W}}$  against  $m_{\text{F275W}} - m_{\text{F336W}}$  (bottom-left inset),  $m_{\text{F336W}, \text{F275W}, \text{F814W}}$  against  $2m_{\text{F275W}} - m_{\text{F438W}} - m_{\text{F814W}}$  (bottom-right inset), and  $m_{\text{F275W}}$  vs.  $m_{\text{F336W}} - m_{\text{F438W}}$  (upper-right inset) diagrams highlight multiple sequences along the RGB, the MS, and the SGB, respectively.

Léteznek gömbhalmazok jelenleg is zajló dinamikai bomlással (“árapály-párolgás”)

Legjobb példák: Palomar 5, NGC 5466

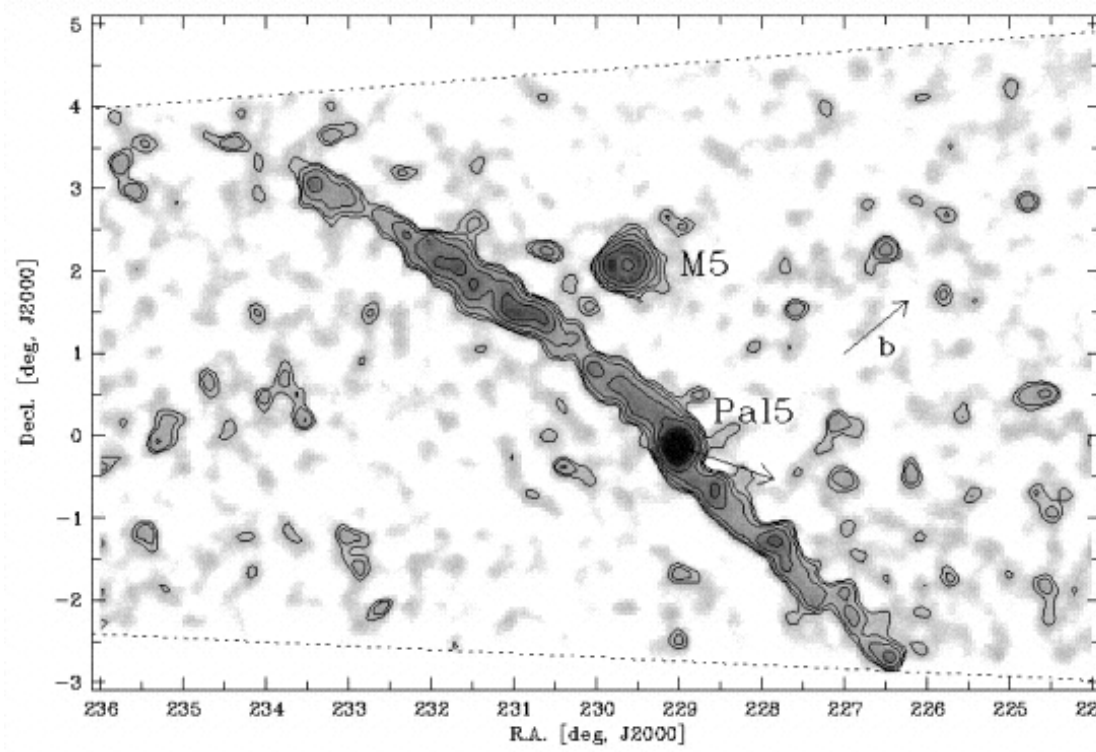


Odenkirchen et al. (2001)

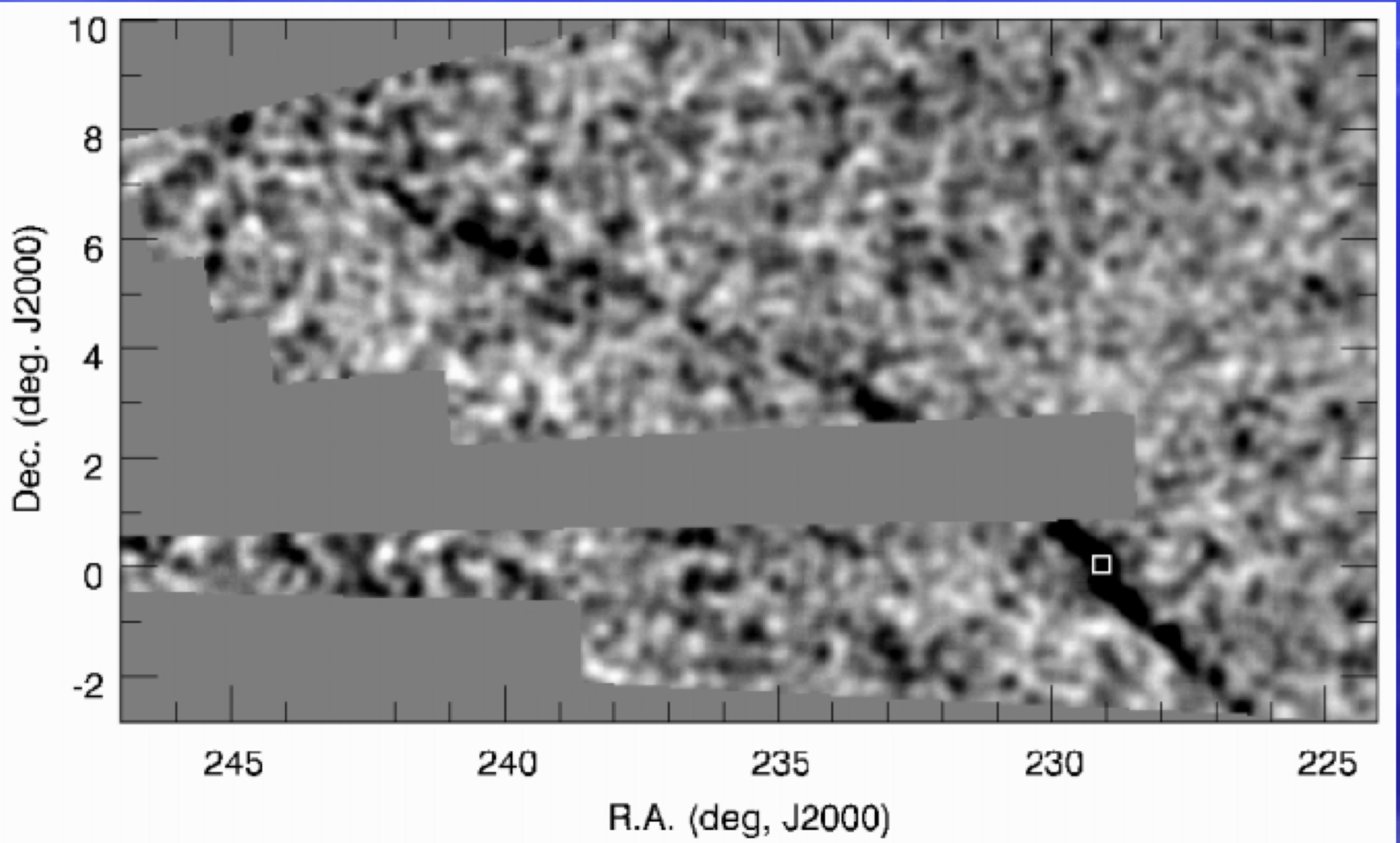


Minden SDSS-  
csillag...

Odenkirchen et al. (2003)



...és a Pal 5 szín-  
fényesség-diagramjára  
illeszkedőek



Grillmair & Dionatos 2006

# Halmazokon belül finom kémiai változások

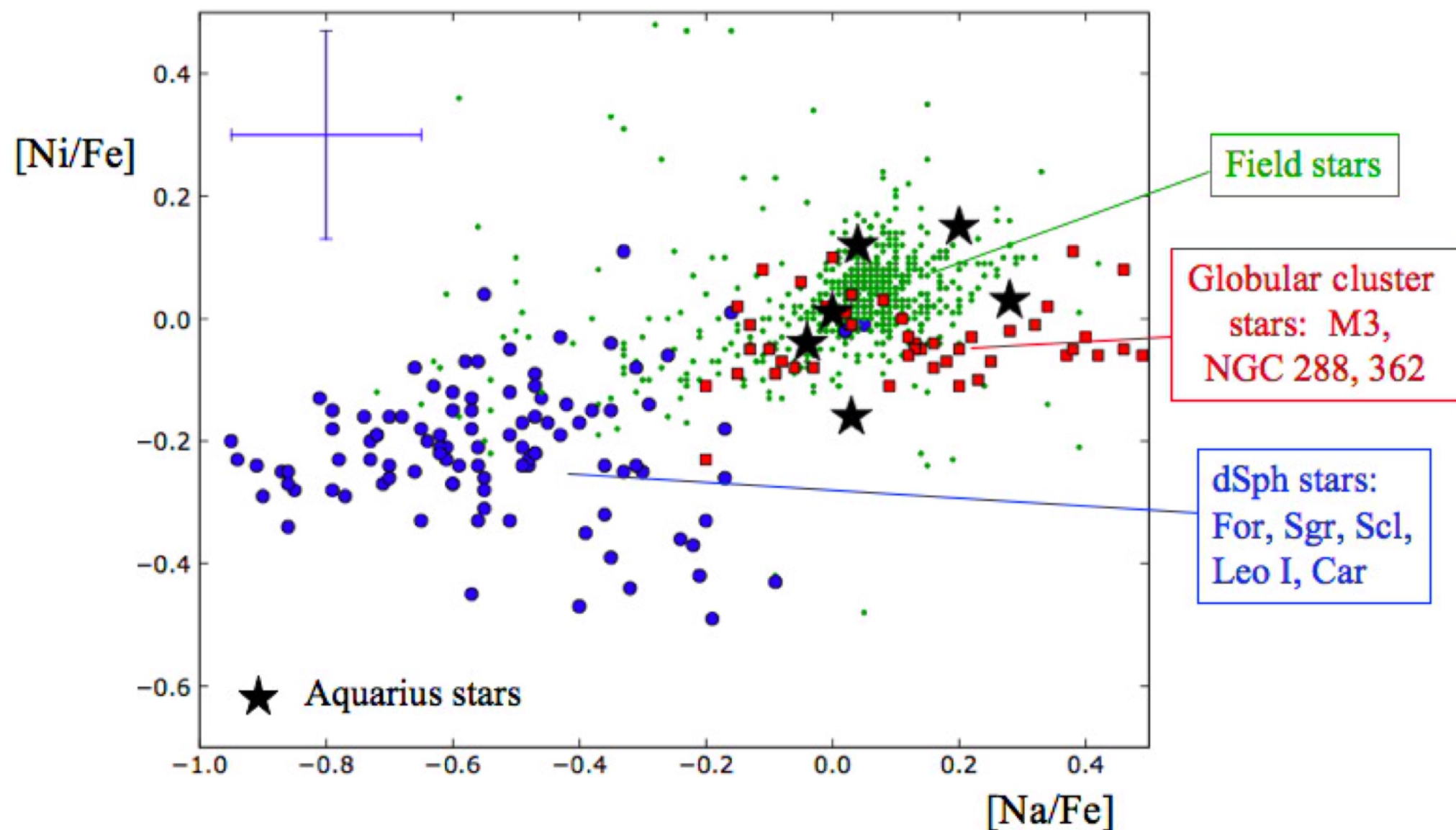
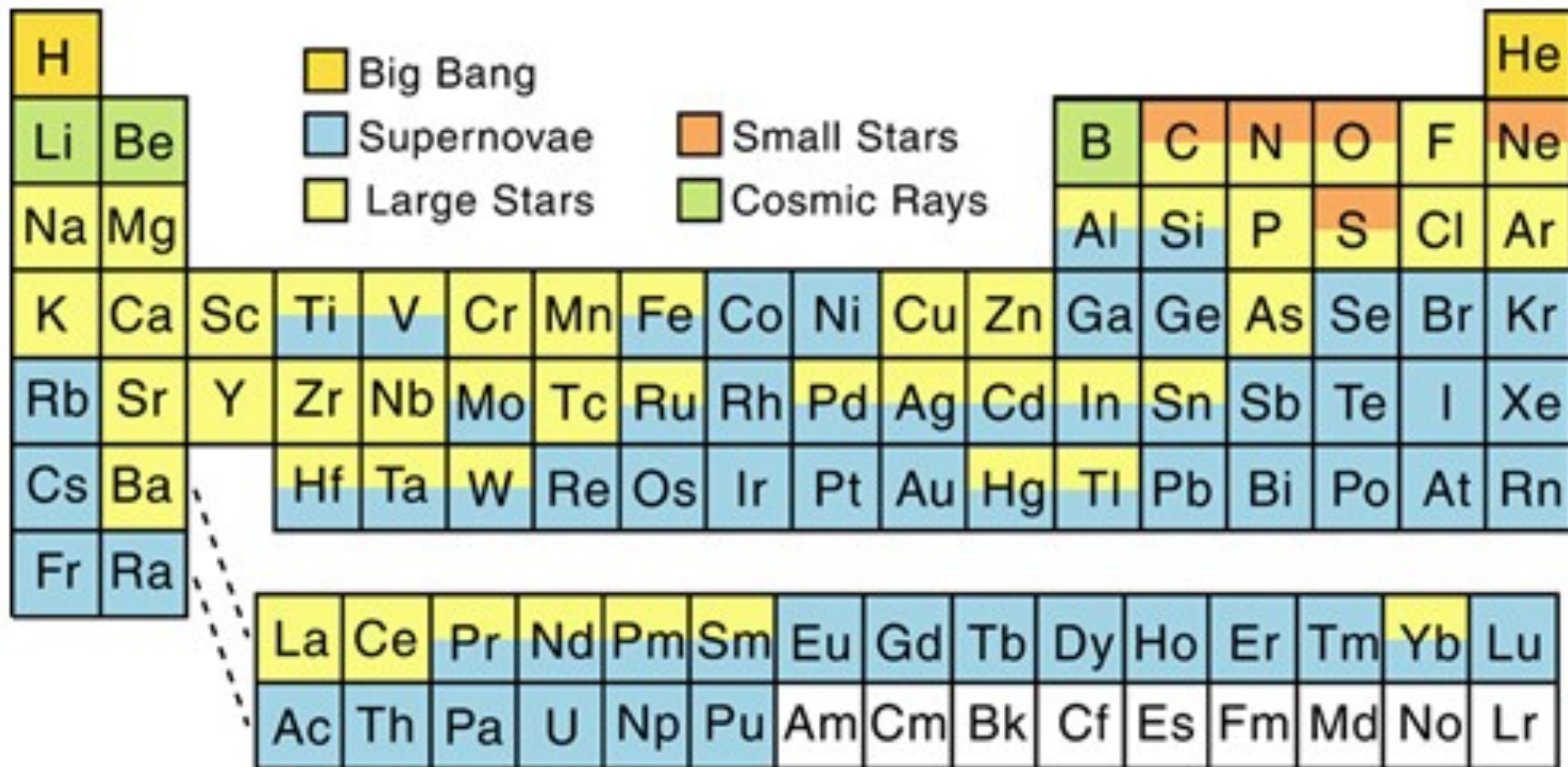
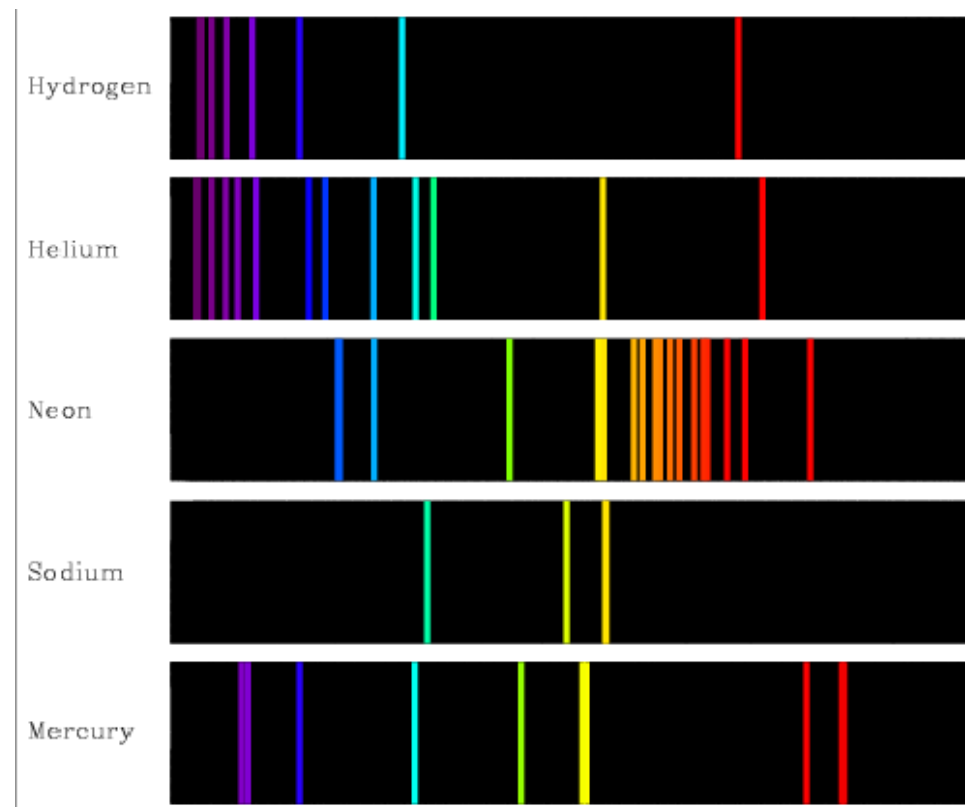


Figure 4: The Na-Ni distribution for globular cluster stars, dwarf spheroidal galaxy stars, field halo stars and stars of the Aquarius stream (black star symbols) (Wylie de Boer et al. 2012). The stars of the Aquarius stream are in the same part of the distribution as the globular cluster stars.

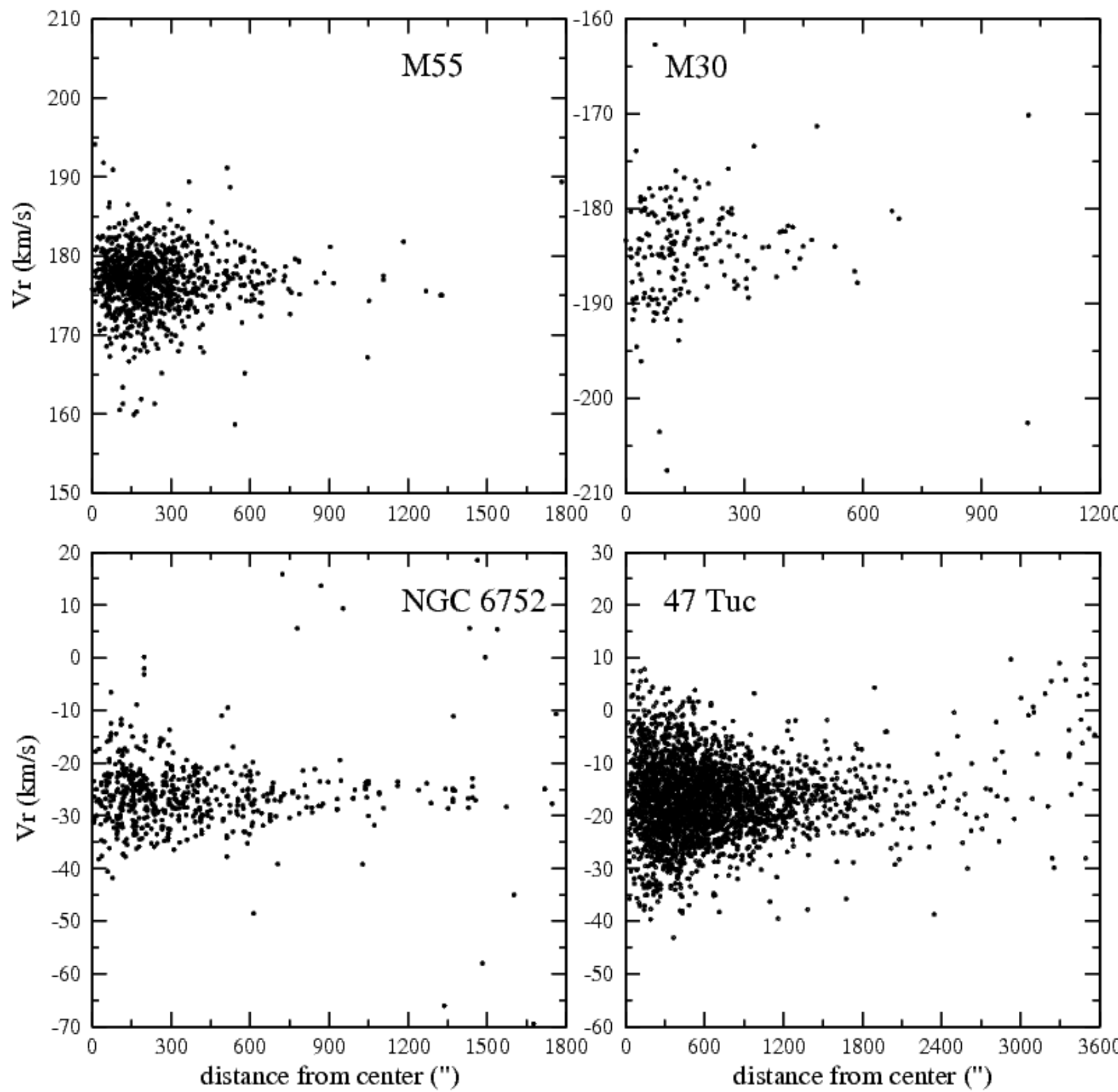
galaxies. The distribution of their stars in the  $[X/Fe]-[Fe/H]$  plane is well defined for an individual galaxy but differs in structure from galaxy to galaxy depending on their star formation history



La	Ce	Pr	Nd	Pm	Sm	Eu	Gd	Tb	Dy	Ho	Er	Tm	Yb	Lu
Ac	Th	Pa	U	Np	Pu	Am	Cm	Bk	Cf	Es	Fm	No	Lr	



# Sebességdiszperziós profil: a radiális sebességek szórása a távolság függvényében



# Kinematika és módosított newtoni dinamika

THE ASTROPHYSICAL JOURNAL, 270:365–370, 1983 July 15

© 1983. The American Astronomical Society. All rights reserved. Printed in U.S.A.

## A MODIFICATION OF THE NEWTONIAN DYNAMICS AS A POSSIBLE ALTERNATIVE TO THE HIDDEN MASS HYPOTHESIS<sup>1</sup>

M. MILGROM

Department of Physics, The Weizmann Institute of Science, Rehovot, Israel; and  
The Institute for Advanced Study

*Received 1982 February 4; accepted 1982 December 28*

### ABSTRACT

I consider the possibility that there is not, in fact, much hidden mass in galaxies and galaxy systems. If a certain modified version of the Newtonian dynamics is used to describe the motion of bodies in a gravitational field (of a galaxy, say), the observational results are reproduced with no need to assume hidden mass in appreciable quantities. Various characteristics of galaxies result with no further assumptions.

In the basis of the modification is the assumption that in the limit of small acceleration  $a \ll a_0$ , the acceleration of a particle at distance  $r$  from a mass  $M$  satisfies approximately  $a^2/a_0 \approx MGr^{-2}$ , where  $a_0$  is a constant of the dimensions of an acceleration.

A success of this modified dynamics in explaining the data may be interpreted as implying a need to change the law of inertia in the limit of small accelerations or a more limited change of gravity alone.

I discuss various observational constraints on possible theories for the modified dynamics from data which exist already and suggest other systems which may provide useful constraints.

*Subject headings:* cosmology — galaxies: internal motions — stars: stellar dynamics

# Scarpa és mtsai. (2007): néhány GH sebességdiszperziós profilja hasonlít a sötét anyag által dominált törpegalaxisokéra

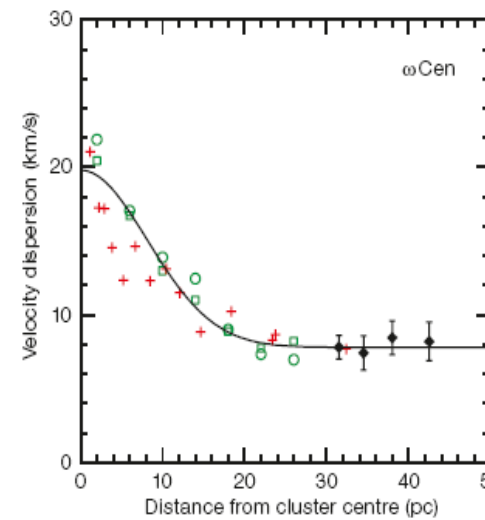
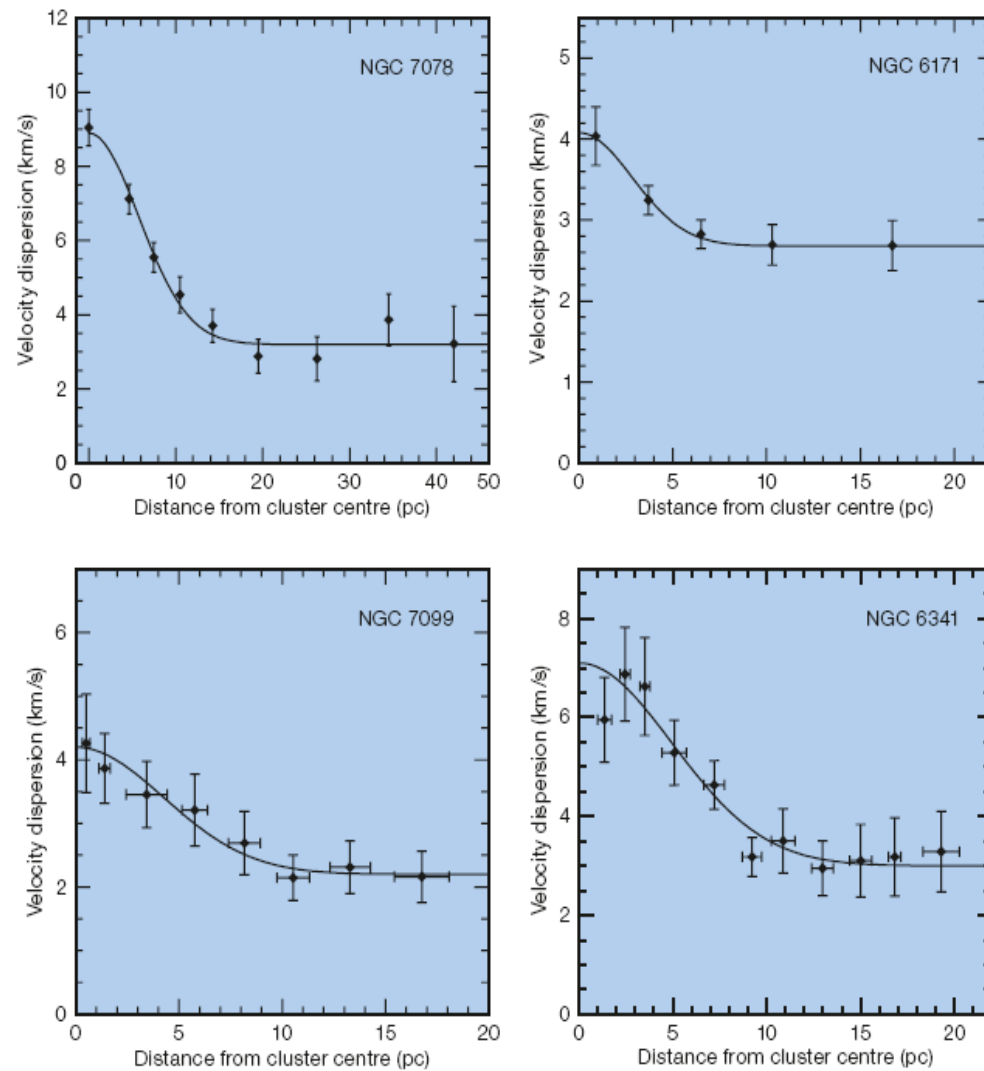


Figure 1: The velocity dispersion profile of  $\omega$  Centauri. Circles and squares represent the dispersion as derived from proper motion data. Crosses are radial velocity dispersions from the literature, to which we added data for 75 stars (the four last points with error bars). The solid line is not a fit to the data. It is a Gaussian plus a constant drawn to emphasise the flattening of the dispersion at large radii.

Cluster Name	$M_v$	$R$ (pc)	$a$ ( $\text{cm s}^{-2}$ )
NGC 5139 ( $\omega$ Centauri)	-10.29	$27 \pm 3$	$2.1 \pm 0.5 \times 10^{-6}$
NGC 6171 (M107)	-7.13	$8 \pm 2$	$1.3 \pm 0.6 \times 10^{-6}$
NGC 6341 (M92)	-8.20	$12 \pm 2$	$1.5 \pm 0.6 \times 10^{-6}$
NGC 7078 (M15)	-9.17	$20 \pm 2$	$1.4 \pm 0.4 \times 10^{-6}$
NGC 7099 (M30)	-7.43	$10 \pm 2$	$1.1 \pm 0.4 \times 10^{-6}$

